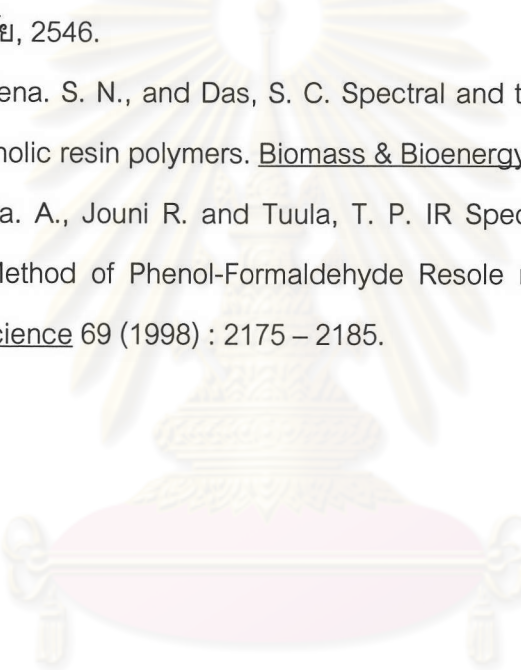


รายการอ้างอิง

1. เสาร์จัน ช่วงจุลจิตร, รศ. เอกสารประกอบการสอนวิชาเทคโนโลยียาง. ภาควิชาวัสดุศาสตร์ คณะวิทยาศาสตร์ จุฬาลงกรณ์มหาวิทยาลัย กรุงเทพมหานคร, 2546.
2. Hill, M. Rubber Engineering. New York : Indian Rubber Institute, 2000.
3. Ciullo, P. A. and Hewitt, N. The Rubber Formulary. New York : Noyes Publications, 1999.
4. Tinker, A. J. and Jones, K. P. Novel Techniques for Blending with Specialty Polymers Blends of Natural Rubber. London : Chapman & Hall, 1998.
5. ขวัญชัย ทิવารรณวงศ์, คณสันติ เม่งกลาง. 2544. การศึกษาการสกัดน้ำมัน CNSL จากเปลือกเม็ดมะม่วงหิมพานต์. รายงานการวิจัย. ภาควิชาวิศวกรรมเกษตร คณะวิศวกรรมศาสตร์ มหาวิทยาลัยขอนแก่น.
6. Pat O'Farrell, Sam Blaize, Elias Chacko. The New Rural Industries-A Handbook for Farmers and Invertor-Cashew [article online]. Available from : www.rirde.gov.au/cashew.html
7. India Food Exports. Products Available from : <http://www.indiafoodexports.com/10100pro.html>
8. บุญชัย ตระกูลมหาชัย. ปริมาณและความต้องการน้ำมันจากเปลือกมะม่วงหิมพานต์ [สัมภาษณ์]. ผู้จัดการโรงงาน บริษัท 25 อินดัสเตรียลสโปรดัก จำกัด 22 กันยายน 2543.
9. Cardolic Corporation, Inc. 2002. Revised test Plan for CNSL. CAS No. 8007-24-7 Available from : <http://www.cardolite.com>
10. Menon, A.R.R., Pillai, C.K.S., Sudha, J.D., and Methew, A.G. Cashew nut shell liquid-its polymeric and other industrial products. Journal of Scientific and Industrial Research 44 (1985) : 324-338.
11. Mwailambo, L. Y., Ansell, M. P. Cure characteristics of alkali catalysed cashew nut shell liquid formaldehyde resins. Journal of Materials Science 36 (2001) : 3693 - 3698.
12. Pillai, C.K.S., Prasad, V.S., Sudha, J.D., Bera, S.C., and Menon, A.R.R. Polymeric resins from renewable resources. II. Synthesis and characterization of flame retardant prepolymers from cardanol. Journal of Applied Polymer Science 41 (1990) : 2487 - 2501.

13. Philip Blazdell. 'The Mighty Cashew', Interdisciplinary Science reviews, 25 (2000) : 220 – 226.
14. Odian, G. Principles of Polymerization. The College of Stitute Islands The University of New York, 1982.
15. Misra, A. K. and Pandey, G. N. Kinetic of alkali-catalyzed cardanol-formaldehyde reaction. II. Mechanism of the reaction. Journal of Applied Polymer Science 30 (1985) : 969- 977.
16. Mahanwar, P. A., Kale, D. D. Effect of Cashew Nut Shell Liquid on Properties of Phenolic Resins. Journal of Applied Polymer Science 61 (1996) : 2107 – 2111.
17. Maria, L. S., Gouvan C. Utilisation of Cashew Nut Shell Liqid from Anacardium occdentale a Stating Material for Organic Synthesis : A novel Route to Lasiodiplodin from Cardols. Journal of Brazillian Chemistry Society 10 (1999) : 13 – 20.
18. Vu, Y. T., Mark, J. E. Blends of Natural Rubber with Cardanol-Formaldehyde Resins Polymer Plastic Tecnology Engineering 38 (1999) : 189 – 200.
19. Ikeda, R., Tanaka, H., Uyama, H. and Kobayashi, S. A new crosslinkable polyphenol from a renewable resource. Macromolecule, 21 (2000) : 496 – 499.
20. Menon, A. R. R., Aigbodion, A. I., Pillai, C. K. S., Mathew, N. M. and Bhagawan, S. Processability characteristics and physico-mechanical properties of natural rubber modified with CNSL and CNSL-Fomaldehyde resin. European polymer Journal 38 (2002) : 163 – 168.
21. นางสาวโอบเชื้อ อิ่มวิทยา . ผลของขนาดอนุภาคและปริมาณสารตัวเติมต่อสมบัติทางกายภาพและสมบัติเชิงกลของยางธรรมชาติที่ผ่านการวัดค่าไนซ์. วิทยานิพนธ์ปริญญามหาบัณฑิต ภาควิชาวสศุศาสตร์ คณะวิทยาศาสตร์ จุฬาลงกรณ์มหาวิทยาลัย, 2543.
22. อิทธิพล แจ้งชัด, ผศ.ดร. วิทยาศาสตร์และเทคโนโลยียาง. ภาควิชาเคมี คณะวิทยาศาสตร์สถาบันเทคโนโลยีพระจอมเกล้าเจ้าคุณทหารลาดกระบัง กรุงเทพมหานคร, 2545
23. นางสาวลลิตา รอดทองคำ. การดัดแปลงธรรมชาติด้วยของเหลวสกัดจากเปลือกเมล็ดมะม่วงหิมพานต์. วิทยานิพนธ์ปริญญามหาบัณฑิต ภาควิชาเคมี คณะวิทยาศาสตร์ จุฬาลงกรณ์มหาวิทยาลัย, 2543.

24. Maffezzoli, C., Calo. E., Zurlo, S. I., Mele, G., Tarzia, A., and Stifani, C. Cardanol based matrix biocomposites reinforced with natural fibers. Composites Science and Technology. Article in press (2003).
25. Bhunia, H. P., Nando. A., Basak, A., Lenka, S., and Nayak, P. L. Syntesis and Characterization of Polymers from CNSL, a renewable resource III. European Polymer Journal 35 (1999) : 1713 – 1722.
26. นายณัฐพงศ์ เจริญวงศ์. ผลของชนิดและปริมาณของฟีโนลิกเรซินต่อภาวะการบ่มสมบัติ ทางความร้อนและพฤติกรรมการติดไฟ ของโพลิเมอร์เออลอยด์เบนซอกาชีน/ฟีโนลิก. วิทยานิพนธ์ปริญญาดุษฎีบัณฑิต ภาควิชาวัสดุศาสตร์ คณะวิทยาศาสตร์ จุฬาลงกรณ์มหาวิทยาลัย, 2546.
27. Rout, R. K., Jena. S. N., and Das, S. C. Spectral and thermal studies of biomass cured phenolic resin polymers. Biomass & Bioenergy, 25 (2003) : 329 – 334.
28. Timo, H., Leila. A., Jouni R. and Tuula, T. P. IR Spectroscopy as a Quntitative Analysis Method of Phenol-Formaldehyde Resole resins. Journal of Applied Polymer Science 69 (1998) : 2175 – 2185.



ศูนย์วิทยทรัพยากร
จุฬาลงกรณ์มหาวิทยาลัย



ภาคผนวก

ศูนย์วิทยทรัพยากร
จุฬาลงกรณ์มหาวิทยาลัย

ภาคผนวก ก

การทดสอบส่วนผสมของสิ่งสกปรก

ก.1 การทดสอบปริมาณสิ่งสกปรก (Determination of Dirt Content) ปริมาณสิ่งสกปรก หมายถึง ปริมาณสารที่ได้จากการกรองด้วยตัวกรอง ที่มีแผ่นตะแกรงกรองขนาดครุฑะแกรง 325 เมช (mesh) หรือ 44 ไมครอน (micron) ซึ่งสารที่ได้จากการกรองนั้นประกอบด้วยสารที่ไม่ใช่เนื้อยาง (non rubber) และรวมทั้งสารเปลกปลอมอื่น ๆ ได้แก่ เบล็อกไม้ ดิน ใบไม้ ปริมาณและชนิดของสิ่งสกปรก มีความสำคัญต่อกระบวนการนำยาไปใช้ประรูปทำผลิตภัณฑ์ยา ถ้าหากมีปริมาณสิ่งสกปรกสูงจะมีผลกระทบต่อกระบวนการประรูป และคุณภาพของผลิตภัณฑ์สำเร็จรูปดังนั้น จึงจำเป็นอย่างยิ่งที่จะต้องควบคุมการผลิตยาให้ปราศจากหรือมีปริมาณลงน้อยที่สุด เช่นทำการกรองน้ำยาให้สะอาดก่อนที่จะเข้าสู่กระบวนการผลิตยา

ปริมาณสิ่งสกปรกในชิ้นยางทดสอบคิดเป็นเปอร์เซ็นต์ได้ดังนี้

$$\% \text{ สิ่งสกปรก} = \frac{\text{น้ำหนักสิ่งสกปรก}}{\text{น้ำหนักชิ้นยางทดสอบ}} \times 100$$

$$\text{หรือ} \quad = \frac{B - A}{W} \times 100$$

เมื่อ A = น้ำหนักตัวกรองเปล่า (กรัม)

B = น้ำหนักตัวกรองพร้อมสิ่งสกปรก (กรัม)

C = น้ำหนักชิ้นยางทดสอบ (กรัม)

ก.2 การทดสอบปริมาณเถ้า (Determination of Ash Content) ปกติเถ้า (Ash) ของยางธรรมชาติ จะประกอบด้วยสารพอกかる์บอนेट และฟอสเฟต ของโปเปตส์เชียม แมกนีเซียม แคลเซียม โซเดียม และแร่ธาตุอื่น ๆ นอกจากนี้ปริมาณเถ้าอาจเป็นพากซิลิกาหรือซิลิกาที่มีอยู่ในยางเองหรืออาจปะปนมาจากการข้างนอก ซึ่งขึ้นอยู่กับแหล่งที่มาของยาง ปริมาณของเถ้าจึงเป็นตัวบ่งชี้ถึงปริมาณของแร่ธาตุที่มีอยู่ในยางดิบ

การทดสอบหาปริมาณเกล้า ก็เพื่อต้องการทราบถึงปริมาณของสารประเภทเกลืออนินทรีย์ (Inorganic salt) ในยาง ถ้าหากปริมาณของเกลืออนินทรีย์ เช่น สารอลัม (Alum) สูง จะเป็นสาเหตุทำให้ความชื้นสูงดูดซึมเข้าไปในยางได้มาก เมื่อความชื้นสูงก็จะเป็นสาเหตุทำให้เกิดปัญหาในการผลิตผลิตภัณฑ์ยางสำเร็จรูป อนึ่งการทราบปริมาณเกล้าในยางจะช่วยบ่งชี้ว่ามีการใส่สารตัวเติม (filler) ลงไปช่วยเพิ่มน้ำหนักยางหรือไม่

ปริมาณเกล้าในชิ้นยางทดสอบคิดเป็นเปอร์เซ็นต์ได้ดังนี้

$$\% \text{ เกล้า} = \frac{\text{น้ำหนักเกล้า}}{\text{น้ำหนักชิ้นยางทดสอบ}} \times 100$$

$$\text{หรือ} = \frac{B - A}{W} \times 100$$

เมื่อ A = น้ำหนัก Crucible (กรัม)

B = น้ำหนัก Crucible พ่วงมเกล้า (กรัม)

C = น้ำหนักชิ้นยางทดสอบ (กรัม)

ก.3 การทดสอบปริมาณสิ่งระเหย (Determination of Volatile matter) สิ่งระเหยในยางส่วนใหญ่ เป็นความชื้นในยาง การผลิตยางแห้งต้องผ่านกระบวนการผลิตหลายขั้นตอน เช่น การอบยางให้แห้ง ตลอดจนการบรรจุหีบห่อ ทำให้ปริมาณสิ่งระเหยในยางแห้งน้อยกว่าปริมาณสิ่งระเหยในยางดิบทั่ว ๆ ไป ปริมาณสิ่งระเหยที่สูงจะทำให้ยางแห้งน้ำเกิดราได้ง่ายมีกลิ่นเหม็น ทำให้เกิดปัญหาต่อผู้นำยางไปใช้ และยังทำให้เกิดปัญหาระหว่างกระบวนการผลิต เช่น การบดผสมยางภายใน (Banbury or Internal Mixer) ปริมาณสิ่งระเหยที่สูงจะทำให้ยางลื่นบดผสมกับสารเคมีอื่นได้ยาก นอกจากนี้การอบยางไม่แห้งยังเป็นการเอาเบร์ยบผู้ใช้ยาง เพราะเทากับขายน้ำรวมไปกับยางด้วย ปริมาณสิ่งระเหยในชิ้นยางทดสอบคิดเป็นเปอร์เซ็นต์ได้ดังนี้

$$\% \text{ สิ่งระเหย} = \frac{B - A}{A} \times 100$$

เมื่อ A = น้ำหนักตัวอย่างก่อนอบ (กรัม)

B = น้ำหนักตัวอย่างหลังอบ (กรัม)

ก.4 การทดสอบปริมาณในตรเจน (Dertermination of Nitrogen Content) ปกติในตรเจนของยางดิบจะอยู่ในรูปของโปรตีน ดังนั้นปริมาณในตรเจนจึงเป็นตัวบ่งชี้ปริมาณของสารโปรตีน การวิเคราะห์เพื่อให้ทราบว่าในยางดิบนั้น ๆ จะมีโปรตีนอยู่ปริมาณมากน้อยเพียงใด และถึงแม้ว่าในตรเจนจะมีปริมาณแตกต่างไปตามชนิดของโปรตีนก็ตาม โดยทั่วไปวิธีการยอมรับให้ โปรตีน = $6.25 \times$ ปริมาณของในตรเจน แต่ปริมาณของในตรเจนที่คำนวณได้ในสูตรนี้ก็ไม่ได้เป็นตัวเลขที่แน่นอนของปริมาณโปรตีนเสมอไป อนึ่งน้ำยางที่แยกເອาน้ำออกเหลือแต่ยางน้ำยาง จะมีปริมาณในตรเจนสูง

การวิเคราะห์หาในตรเจนจากยาง จะใช้วิธี Semi – micro kjeldahl โดยทำให้ยางย่อยสลายด้วยการเผาภับสารเร่งปฏิกิริยาและกรดกำมะถันเข้มข้น เพื่อเปลี่ยนสารประกอบในตรเจนไปเป็นแอมโมเนียมไฮドโรเจนซัลเฟต (ammonium hydrogen sulphate) แล้วเปลี่ยนสารนั้นให้อยู่ในรูปของด่าง นำไปกลั่นจะได้ก๊าซแอมโมเนีย ใช้กรดบอริกจับก๊าซแอมโมเนียที่กลั่นออกมาได้แล้วนำสารละลายที่ได้ไปเตربعตภบสารละลายมาตรวัดรูปแบบกำมะถัน ก็สามารถคำนวณหาระบิมาณในตรเจนได้

การทำหนดขีดจำกัดในตรเจนในยางแห้งมีจุดมุ่งหมายเพื่อป้องกันไม่ให้ผู้ผลิตนำหางน้ำยาง (Skim - latex) มาผลิตยางแห้ง ในหางน้ำยางมีปริมาณในตรเจนสูง ซึ่งในตรเจนนี้จะอยู่ในรูปของโปรตีนและรวมทั้งสารที่ไม่ใช่น้ำยาง (non rubber) หากปริมาณโปรตีนและสารที่ไม่ใช่น้ำยางสูง จะมีผลทำให้เกิดความยุ่งยากเกี่ยวกับอัตราการเกิดปฏิกิริยาวัลคานิซึ คือ ทำให้เกิดปฏิกิริยาวัลคานิซึเร็วขึ้น (fast cure) และผลต่อการเพิ่มความแข็งแก่ยาง สิ่งสำคัญที่สุด คือ เมื่อนำหางน้ำยางไปผลิตเป็นผลิตภัณฑ์สำเร็จรูป จะได้ผลิตภัณฑ์ที่มีสมบัติทางพลวัต (Dynamic properties) เช่น สมบัติการกระดอนไม่ดี เป็นต้น

ก.5 การทดสอบค่าดัชนีความอ่อนตัว (Determination of Plastic Retention Index - PRI) ค่าดัชนีความอ่อนตัวของยาง คือ ค่าความด้านทานของยางดิบต่อการแตกหักของไม้เลกุลที่อุณหภูมิสูงหรือต่อการออกซิเดชัน การทดสอบประกอบด้วยการหา Plasticity ของยางก่อนอบ (P_0) และหลังอบที่อุณหภูมิ $140 \pm 0.2^\circ\text{C}$ นาน 30 นาที (P_{30})

ค่าดัชนีความอ่อนตัวของยาง ถ้าได้ค่าสูง แสดงว่ายางมีความด้านทานต่อการแตกหักของไม้เลกุลสูงน้ำค่ามัธยฐาน (Median) จากสามค่าของชิ้นทดสอบที่ไม่อบและอบ มาคำนวณหาค่าดัชนีความอ่อนตัวของยางดังนี้

$$PRI = \frac{P_{30}}{P_0} \times 100$$

เมื่อ PRI = ค่าดัชนีความอ่อนตัวของยาง (Plasticity Retention Index)

P_0 = ค่ามัธยฐานของค่า Plasticity ของยางที่ไม่อบ

P_{30} = ค่ามัธยฐานของค่า Plasticity ของยางที่อบแล้ว

ก.6 การทดสอบสี (Determination of Color) สีของตัวยางแท่ง เป็นสมบัติที่สำคัญ สมบัตินี้ของยางแท่ง STR 10 เมื่อเปรียบเทียบสีของตัวอย่างยางแท่งกับสีมาตรฐาน Lovibond Comparator Discs "Rubber Latex Color Amber Units" และจะต้องไม่เกินขีดจำกัดที่กำหนดได้ การที่ต้องกำหนดสีของยางแท่งไว้ ก็เพื่อประโยชน์ในการนำยางชนิดนี้ไปทำผลิตภัณฑ์ที่ต้องการ ความใส หรือมีสีสันต่าง ๆ

ศูนย์วิทยทรัพยากร
จุฬาลงกรณ์มหาวิทยาลัย

ภาคผนวก ข

ข.1 ข้อมูลดิบการทดสอบสมบัติความแข็งของยางที่ผ่านสารเสริมแรงตามอัตราส่วนต่าง ๆ

ตารางที่ ข.1.1 ค่าความแข็งของยางธรรมชาติที่ใส่สารตัวเติมเสริมแรงก่อนอบเร่งด้วยความร้อน

สูตร	ค่าความแข็ง (Shore A) ก่อนอบ						ค่ากลาง
	1	2	3	4	5		
C-black (30 phr)	46.2	42.7	45.6	44.5	42.9		44.5
CF-NO (30 phr)	41.7	44.2	40.9	44.7	44.8		44.2
CF-RE (30 phr)	38.9	39.7	39.2	39.0	39.9		39.2
Silica (30 phr)	39.7	40.0	39.4	39.1	39.8		39.7
C-black (45 phr)	48.9	49.0	49.1	49.3	48.7		49.0
CF-NO (45 phr)	47.6	46.9	47.4	47.0	47.1		47.1
CF-RE (45 phr)	42.4	42.5	43.0	42.6	42.1		42.5
Silica (45 phr)	47.1	47.0	46.9	47.2	47.2		47.1
C-black (60 phr)	54.9	55.0	54.6	54.7	54.5		54.7
CF-NO (60 phr)	50.9	51.1	50.0	50.2	50.3		50.3
CF-RE (60 phr)	47.4	47.9	47.0	47.1	47.6		47.4
Silica (60 phr)	51.0	51.1	51.7	51.3	51.9		51.3

ตารางที่ ข.1.2 ค่าความแข็งของยางธรรมชาติที่ใส่สารตัวเติมเสริมแรงหลังอบเร่งด้วยความร้อน

สูตร	ค่าความแข็ง (Shore A) หลังอบ						ค่ากลาง
	1	2	3	4	5		
C-black (30 phr)	46.6	46.9	47.0	46.1	46.4		46.6
CF-NO (30 phr)	44.1	44.5	44.7	44.3	44.8		44.5
CF-RE (30 phr)	40.9	41.0	40.1	39.9	40.7		40.7
Silica (30 phr)	44.9	45.7	45.1	46.0	45.1		45.1
C-black (45 phr)	52.3	51.9	52.0	52.7	53.1		52.3
CF-NO (45 phr)	47.4	48.5	48.1	47.9	47.6		47.9
CF-RE (45 phr)	45.3	46.2	44.9	45.0	45.6		45.3
Silica (45 phr)	49.8	49.5	49.7	49.1	49.4		49.5
C-black (60 phr)	60.0	59.8	61.9	60.1	61.0		60.1
CF-NO (60 phr)	48.7	49.6	49.9	46.4	50.1		49.6
CF-RE (60 phr)	49.6	48.8	48.9	49.1	48.5		48.9
Silica (60 phr)	56.7	55.0	55.6	54.2	55.5		55.5

**ข.2 ข้อมูลดิบของการทดสอบสมบัติด้านความหนาแนงดึงของยางธรรมชาติ
ที่ผ่านสารตัวเติมเสริมแรงตามอัตราส่วนต่าง ๆ**

ตารางที่ ข.2.1 ค่าความหนาแนงดึงของยางธรรมชาติที่ใส่สารตัวเติมเสริมแรงก่อนอบเร่งด้วยความร้อน

สูตร	ค่าความหนาแนงดึง (MPa) ก่อนอบ						
	1	2	3	4	5	ค่าเฉลี่ย	ค่า SD
C-black (30 phr)	29.92	31.32	29.15	30.30	31.01	30.34	0.86
CF-NO (30 phr)	29.55	30.8	29.13	28.6	29.33	29.48	0.81
CF-RE (30 phr)	26.98	27.13	28.67	27.49	26.41	27.33	0.84
Silica (30 phr)	26.90	27.88	27.30	26.40	27.01	27.09	0.54
C-black (45 phr)	29.77	28.44	27.50	28.59	28.93	28.65	0.82
CF-NO (45 phr)	26.33	25.02	25.12	26.73	25.88	25.82	0.74
CF-RE (45 phr)	24.36	25.02	23.85	26.10	24.77	24.82	0.84
Silica (45 phr)	25.96	26.08	25.61	24.86	24.26	25.35	0.77
C-black (60 phr)	27.89	26.06	28.13	26.88	28.14	27.42	0.91
CF-NO (60 phr)	25.17	25.07	24.69	25.21	25.36	25.10	0.27
CF-RE (60 phr)	19.52	18.46	18.77	18.24	19.77	18.95	0.66
Silica (60 phr)	23.71	23.00	23.13	22.76	23.66	23.25	0.41

ตารางที่ ข.2.2 ค่าความหนาแนงดึงของยางธรรมชาติที่ใส่สารตัวเติมเสริมแรงหลังอบเร่งด้วยความร้อน

สูตร	ค่าความหนาแนงดึง (MPa) หลังอบ						
	1	2	3	4	5	ค่าเฉลี่ย	ค่า SD
C-black (30 phr)	31.55	29.75	30.59	31.01	29.98	30.58	0.73
CF-NO (30 phr)	28.29	27.70	27.10	28.80	27.33	27.84	0.69
CF-RE (30 phr)	23.68	24.01	23.96	24.55	23.56	23.95	0.38
Silica (30 phr)	24.76	25.99	26.03	25.14	24.25	25.23	0.77
C-black (45 phr)	27.79	26.14	27.54	26.03	26.7	26.84	0.79
CF-NO (45 phr)	24.22	23.88	23.02	23.40	24.74	23.85	0.67
CF-RE (45 phr)	21.24	23.05	23.11	21.66	21.84	22.18	0.85
Silica (45 phr)	25.00	24.21	23.59	24.06	23.68	24.11	0.56
C-black (60 phr)	26.13	25.07	24.75	25.12	24.64	25.14	0.58
CF-NO (60 phr)	24.66	23.52	24.57	23.41	23.17	23.86	0.69
CF-RE (60 phr)	19.43	17.33	18.30	17.56	18.45	18.21	0.82
Silica (60 phr)	22.38	23.18	22.46	22.03	22.19	22.44	0.44

ข.3 ข้อมูลดิบของการทดสอบระยะยึดเมื่อขาดของยางธรรมชาติ

ที่ผ่านสารตัวเติมเสริมแรงตามอัตราส่วนต่าง ๆ

ตารางที่ ข.3.1 ระยะยึดเมื่อขาดของยางธรรมชาติที่ใส่สารตัวเติมเสริมแรงก่อนอบเร่งด้วยความร้อน

สูตร	ระยะยึดเมื่อขาด (%) ก่อนอบ						
	1	2	3	4	5	ค่าเฉลี่ย	ค่า SD
C-black (30 phr)	743.5	742.3	746.7	745.8	743.6	744.4	1.81
CF-NO (30 phr)	736.4	739.1	711.5	720.8	718.6	725.2	11.92
CF-RE (30 phr)	779.2	778.5	780.3	782.4	791.9	782.4	5.47
Silica (30 phr)	765.8	742.3	755.8	738.5	748.1	750.1	10.93
C-black (45 phr)	680.9	659.4	668.2	675.5	686.3	674.0	10.58
CF-NO (45 phr)	806.5	748.1	782.2	824.6	800.9	792.4	29.04
CF-RE (45 phr)	890.4	869.6	884.7	854.2	855.9	871.0	16.40
Silica (45 phr)	710.4	645.3	665.7	672.5	688.6	676.5	24.50
C-black (60 phr)	502.3	489.5	527.8	496.7	464.9	496.2	22.69
CF-NO (60 phr)	890.1	865.8	884.7	854.6	870.2	873.0	14.38
CF-RE (60 phr)	950.4	902.8	946.7	922.4	932.5	931.0	19.32
Silica (60 phr)	643.8	603.4	689.1	620.7	665.3	644.4	34.19

ตารางที่ ข.3.2 ระยะยึดเมื่อขาดของยางธรรมชาติที่ใส่สารตัวเติมเสริมแรงหลังอบเร่งด้วยความร้อน

สูตร	ระยะยึดเมื่อขาด (%) หลังอบ						
	1	2	3	4	5	ค่าเฉลี่ย	ค่า SD
C-black (30 phr)	721.6	750.9	699.7	735.2	687.3	718.9	25.80
CF-NO (30 phr)	587.2	670.3	633.1	648.2	676.4	643.0	35.70
CF-RE (30 phr)	690.7	688.3	645.2	627.7	669.1	664.2	27.38
Silica (30 phr)	697.8	736.1	712.8	688.2	705.9	708.1	18.11
C-black (45 phr)	629.3	562.1	597.8	610.4	609.5	601.8	24.90
CF-NO (45 phr)	752.6	722.8	698.4	700.3	721.3	719.0	21.92
CF-RE (45 phr)	801.3	739.4	789.4	729.5	729.6	757.0	33.85
Silica (45 phr)	601.8	542.5	584.6	626.9	527.7	567.7	41.17
C-black (60 phr)	491.5	451.2	416.3	455.8	489.7	460.9	31.12
CF-NO (60 phr)	872.6	765.9	748.8	701.2	786.5	775.0	62.99
CF-RE (60 phr)	812.8	790.5	788.6	802.1	831.2	805.0	17.57
Silica (60 phr)	598.4	489.6	512.5	542.9	577.2	544.1	47.76

**ข.4 ข้อมูลดิบของการทดสอบมอคุลัสที่ระยะสั้น 100% ของยางธรรมชาติ
ที่ผสมสารตัวเติมเสริมแรงตามอัตราส่วนต่าง ๆ**

ตารางที่ ข.4.1 มอคุลัสที่ระยะสั้น 100% ของยางธรรมชาติที่ใส่สารเสริมแรงก่อนอบเร่งด้วยความร้อน

สูตร	มอคุลัสที่ระยะสั้น 100% (MPa) ก่อนอบ						
	1	2	3	4	5	ค่าเฉลี่ย	ค่า SD
C-black (30 phr)	1.589	1.601	1.422	1.512	1.493	1.523	0.07
CF-NO (30 phr)	1.389	1.078	1.205	1.247	1.420	1.267	0.13
CF-RE (30 phr)	1.112	1.007	1.071	1.188	1.204	1.116	0.08
Silica (30 phr)	1.890	1.566	1.782	1.408	1.748	1.679	0.19
C-black (45 phr)	2.089	1.976	1.901	1.897	1.944	1.961	0.07
CF-NO (45 phr)	1.699	1.512	1.322	1.371	1.404	1.462	0.14
CF-RE (45 phr)	1.452	1.354	1.369	1.687	1.663	1.505	0.15
Silica (45 phr)	1.968	1.784	1.849	1.698	1.885	1.840	0.10
C-black (60 phr)	4.120	4.401	4.355	3.889	3.768	4.106	0.27
CF-NO (60 phr)	1.886	1.872	1.684	1.716	1.810	1.794	0.09
CF-RE (60 phr)	1.716	1.516	1.685	1.573	1.618	1.621	0.08
Silica (60 phr)	2.018	1.986	2.149	1.889	1.967	2.001	0.09

ตารางที่ ข.4.2 มอคุลัสที่ระยะสั้น 100% ของยางธรรมชาติที่ใส่สารเสริมแรงหลังอบเร่งด้วยความร้อน

สูตร	มอคุลัสที่ระยะสั้น 100% (MPa) หลังอบ						
	1	2	3	4	5	ค่าเฉลี่ย	ค่า SD
C-black (30 phr)	2.697	2.489	2.147	2.358	2.356	2.410	0.20
CF-NO (30 phr)	1.532	1.675	1.402	1.399	1.420	1.485	0.11
CF-RE (30 phr)	1.097	1.108	1.118	1.146	1.241	1.142	0.05
Silica (30 phr)	2.438	2.169	2.259	2.544	2.268	2.335	0.15
C-black (45 phr)	3.945	3.846	3.915	3.801	3.786	3.859	0.06
CF-NO (45 phr)	1.726	1.593	1.749	1.563	1.697	1.666	0.08
CF-RE (45 phr)	1.803	1.633	1.716	1.839	1.703	1.738	0.08
Silica (45 phr)	3.613	3.243	3.507	3.332	3.445	3.428	0.14
C-black (60 phr)	5.367	5.236	5.402	5.029	5.120	5.236	0.15
CF-NO (60 phr)	2.018	1.766	1.891	1.912	2.159	1.949	0.14
CF-RE (60 phr)	1.957	2.014	1.897	1.796	1.869	1.906	0.08
Silica (60 phr)	5.103	4.102	5.223	4.320	4.681	4.686	0.48

**ข.5 ข้อมูลดิบของการทดสอบมอดูลัสที่ระยะยีด 300% ของยางธรรมชาติ
ที่ผสมสารตัวเติมเสริมแรงตามอัตราส่วนต่าง ๆ**

ตารางที่ ข.5.1 มอดูลัสที่ระยะยีด 300% ของยางธรรมชาติที่ใส่สารเสริมแรงก่อนอบเร่งด้วยความร้อน

สูตร	มอดูลัสที่ระยะยีด 300% (MPa) ก่อนอบ						
	1	2	3	4	5	ค่าเฉลี่ย	ค่า SD
C-black (30 phr)	5.822	6.159	5.193	5.663	5.489	5.665	0.36
CF-NO (30 phr)	4.689	4.251	3.746	3.996	4.025	4.141	0.35
CF-RE (30 phr)	4.223	3.807	4.436	3.992	4.038	4.011	0.23
Silica (30 phr)	3.921	3.476	3.771	3.696	3.825	3.738	0.16
C-black (45 phr)	7.893	6.998	7.549	7.023	7.920	7.484	0.45
CF-NO (45 phr)	4.31	4.106	4.029	4.440	4.193	4.216	0.16
CF-RE (45 phr)	4.146	4.069	3.625	3.771	4.020	3.926	0.21
Silica (45 phr)	4.908	4.810	4.591	43.61	4.759	4.686	0.21
C-black (60 phr)	14.99	13.153	11.278	10.854	11.657	12.390	1.69
CF-NO (60 phr)	5.453	5.201	5.103	5.299	5.007	5.213	0.17
CF-RE (60 phr)	4.698	3.914	4.506	4.358	4.036	4.302	2.34
Silica (60 phr)	5.684	5.228	5.108	5.249	5.423	5.338	1.46

ตารางที่ ข.5.2 มอดูลัสที่ระยะยีด 300% ของยางธรรมชาติที่ใส่สารเสริมแรงหลังอบเร่งด้วยความร้อน

สูตร	มอดูลัสที่ระยะยีด 300% (MPa) หลังอบ						
	1	2	3	4	5	ค่าเฉลี่ย	ค่า SD
C-black (30 phr)	9.573	9.24	10.245	10.047	9.028	9.628	0.51
CF-NO (30 phr)	4.129	5.123	4.368	4.521	4.516	4.531	0.36
CF-RE (30 phr)	4.553	3.986	4.015	3.997	3.852	4.080	0.27
Silica (30 phr)	6.710	6.248	5.986	6.047	6.549	6.308	0.31
C-black (45 phr)	10.489	12.14	10.003	11.351	11.098	11.01	0.81
CF-NO (45 phr)	5.693	5.204	4.973	5.307	5.503	5.336	0.27
CF-RE (45 phr)	4.897	4.593	4.003	4.398	4.135	4.405	0.35
Silica (45 phr)	9.796	9.015	8.976	8.664	9.004	9.091	0.42
C-black (60 phr)	16.89	15.014	13.859	12.359	13.69	14.36	1.69
CF-NO (60 phr)	8.226	7.359	7.664	7.449	7.265	7.592	0.38
CF-RE (60 phr)	6.569	6.014	5.985	5.659	6.201	6.086	0.33
Silica (60 phr)	15.987	11.159	10.478	13.650	11.447	12.54	2.26

ข.6 ข้อมูลดิบการทดสอบสมบัติความต้านทานการสึกหรอของยางธรรมชาติที่ผ่านสารเสริมแรงตามอัตราส่วนต่าง ๆ

ตารางที่ ข.6 ค่าความต้านทานการสึกหรอของยางธรรมชาติที่ผ่านสารเสริมแรงตามอัตราส่วนต่าง ๆ

สูตร	ความต้านทานการสึกหรอ [Vol. Loss (cm ³ /1000)]			
	1	2	ค่าเฉลี่ย	SD
C-black (30 phr)	0.33	0.31	0.32	0.01
CF-NO (30 phr)	0.48	0.46	0.47	0.01
CF-RE (30 phr)	0.47	0.49	0.48	0.01
Silica (30 phr)	0.42	0.42	0.42	0
C-black (45 phr)	0.28	0.28	0.28	0
CF-NO (45 phr)	0.40	0.38	0.39	0.01
CF-RE (45 phr)	0.40	0.42	0.41	0.01
Silica (45 phr)	0.34	0.34	0.34	0
C-black (60 phr)	0.21	0.19	0.20	0.01
CF-NO (60 phr)	0.32	0.34	0.33	0.01
CF-RE (60 phr)	0.36	0.36	0.36	0
Silica (60 phr)	0.29	0.29	0.29	0

ศูนย์วิทยทรัพยากร
จุฬาลงกรณ์มหาวิทยาลัย

**ข.7 ข้อมูลดิบการทดสอบ compression set ของยางธรรมชาติ
ที่ผสมสารเสริมแรงตามอัตราส่วนต่าง ๆ**

ตารางที่ ข.7 ค่า compression set ของยางธรรมชาติที่ผสมสารเสริมแรงตามอัตราส่วนต่าง ๆ

สูตร	Compression set (%)				
	1	2	3	ค่าเฉลี่ย	SD
C-black (30 phr)	36.80	36.56	37.01	36.79	0.22
CF-NO (30 phr)	36.11	36.24	36.05	36.13	0.09
CF-RE (30 phr)	32.14	33.04	32.18	32.45	0.50
Silica (30 phr)	50.94	49.58	50.44	50.32	0.68
C-black (45 phr)	43.00	41.07	42.27	42.11	0.97
CF-NO (45 phr)	32.26	31.54	32.11	31.97	0.37
CF-RE (45 phr)	32.99	30.24	31.2	31.48	1.39
Silica (45 phr)	56.78	55.71	55.12	55.87	0.84
C-black (60 phr)	44.63	46.05	44.19	44.95	0.97
CF-NO (60 phr)	30.65	29.14	29.06	29.62	0.89
CF-RE (60 phr)	28.95	27.51	28.03	28.16	0.72
Silica (60 phr)	61.17	63.21	62.01	62.13	1.02

ศูนย์วิทยทรัพยากร
จุฬาลงกรณ์มหาวิทยาลัย

ประวัติผู้เขียนวิทยานิพนธ์

นายพิชณ์ รัตนเมืองกร เกิดเมื่อวันที่ 21 มิถุนายน พ.ศ.2523 สำเร็จการศึกษาระดับปริญญาตรี วิทยาศาสตรบัณฑิต สาขาวิทยาศาสตร์พอลิเมอร์ และสิ่งทอ ภาควิชาวัสดุศาสตร์ คณะวิทยาศาสตร์ จุฬาลงกรณ์มหาวิทยาลัย ในปีการศึกษา 2544

เข้าศึกษาต่อในหลักสูตร วิทยาศาสตรบัณฑิต สาขาวิทยาศาสตร์พอลิเมอร์ประยุกต์ และเทคโนโลยีสิ่งทอ ภาควิชาวัสดุศาสตร์ คณะวิทยาศาสตร์ จุฬาลงกรณ์มหาวิทยาลัย เมื่อปี พ.ศ.2545 และสำเร็จการศึกษาในเดือนตุลาคม ปีการศึกษา 2547



ศูนย์วิทยทรัพยากร
จุฬาลงกรณ์มหาวิทยาลัย